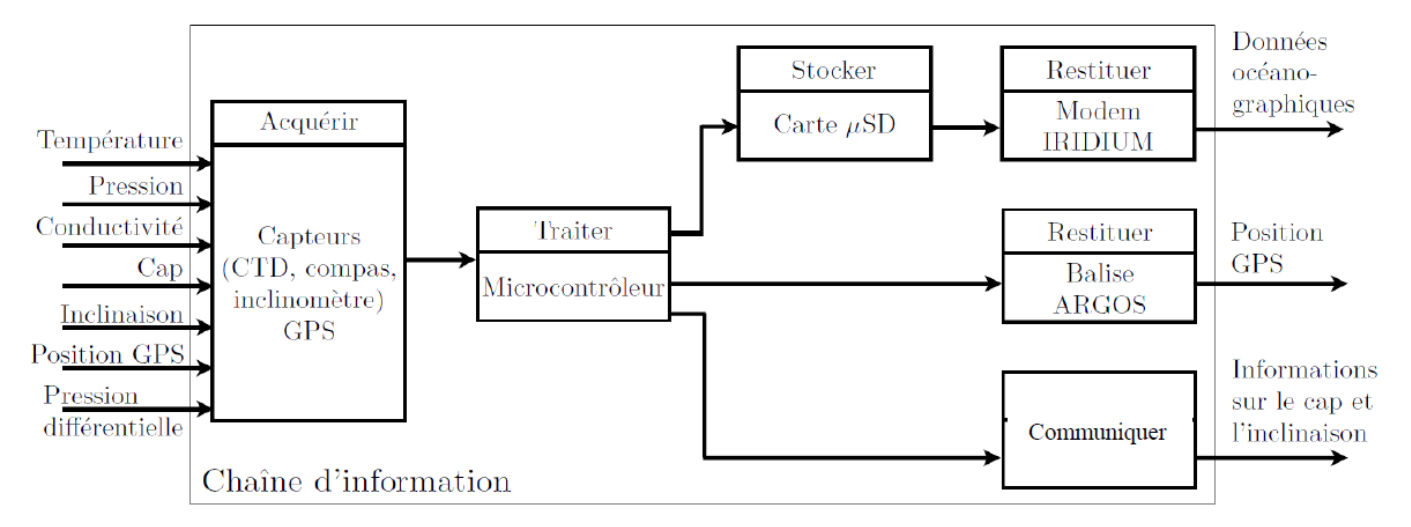
Problème N°1: Hydroplaneur

Q1 et Q2:



Q3 : Lors de la phase de plongée, les réservoirs sont emplis d'huile. Lors de la phase de remontée, ce sont les ballasts.

Q4 : Le cahier des charges impose un minimum de 500 cycles en autonomie et une durée de cycle maximale de 11h. On a donc une autonomie recherchée de 5500 heures.

Q5. Sur un cycle, on calcule une dépense énergétique
$$E_d=\frac{199+7000+9100}{3600}+\frac{72}{30}=6.93~W.~h$$

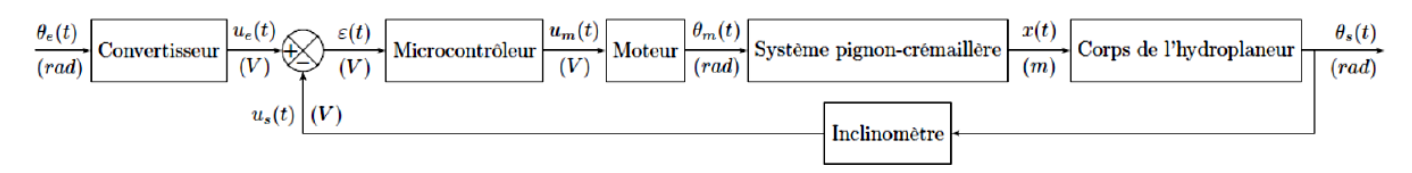
Q6. On calcule tout d'abord l'énergie stockée dans une cellule en relevant les informations dans le bdd :

$$Ec = 20 * 3.9 = 78W.h$$

En multipliant celle-ci par le nombre de cellules, on obtient une énergie disponible de : 52*Ec = 4056W.hCela permet d'effectuer : $\frac{52.E_c}{Ed} = 585$ cycles

Le cahier des charges stipule un nombre minimum de 500 cycles ; il est donc respecté.

Q7. A partir du texte descriptif, on construit le schéma-blocs fonctionnel suivant :



Q8. On peut parler de système asservi car il existe une boucle de retour (munie d'un capteur) et un écart est généré.

Q9.
$$C_m(p) = J_{eq} \cdot p \cdot \Omega_m(p)$$
 (1) $U_m(p) = E(p) + R \cdot I(p)$ (2) $C_m(p) = k_c \cdot I(p)$ (3) $E(p) = k_e \cdot \Omega_m(p)$

Q10.
$$U_m(p) = k_e \cdot \Omega_m(p) + R \cdot \frac{J_{eq}}{k_c} \cdot p \Omega_m(p)$$
 $d'où H_m(p) = \frac{\Omega_m(p)}{U_m(p)} = \frac{1}{k_e \cdot + R \cdot \frac{J_{eq}}{k_c} \cdot p}$

Lycée Claude Fauriel Page 1 sur 10

$$Q11. \ \ H_m(p) = \frac{\Omega_m(p)}{U_m(p)} = \frac{\frac{1}{k_e}}{1 + R. \frac{J_{eq}}{k_c.k_e}.p} = \frac{K_m}{1 + \tau_m.p} \qquad \text{d'où}: \ K_m = \frac{1}{k_e} = 47.6 \ rad.s^{-1}.V^{-1} \ \text{et}$$

$$\tau_m = \frac{RJ_{eq}}{k_c.k_e} = 2.49 \ s$$

Q12 : La vitesse angulaire est la dérivée de la position angulaire : $\omega_m(t) = \frac{d}{dt}\theta_m(t)$ d'où $\Omega_m(p) = p.\theta_m(p)$ On en déduit : $\frac{\theta_m(p)}{\Omega_m(p)} = \frac{1}{p}$. C'est une intégration.

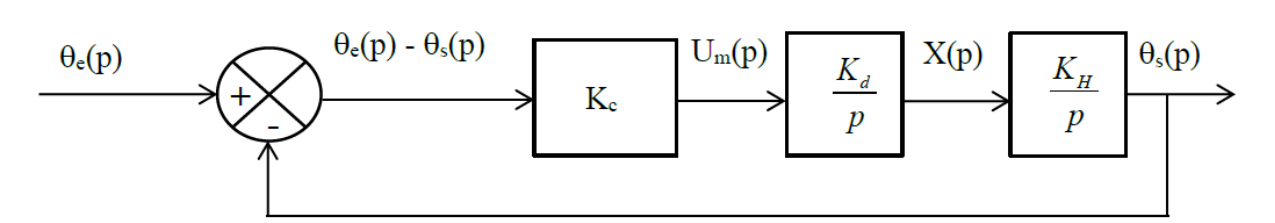
Q13.

On en déduit : $\frac{X(p)}{U_m(p)} = \frac{K_m.K_r}{1+\tau_m.p} \cdot \frac{1}{p}$

Q14. $K_H = 3 \ rad. \ s^{-1}. \ m^{-1}$. Pente de la droite.

Q15.
$$pX(p) = K_d U_m(p)$$
 $p\theta_s(p) = K_H X(p)$ $U_m(p) = K_c (\theta_e(p) - \theta_s(p))$

Q16.



Q17.
$$H(p) = \frac{\theta_s(p)}{\theta_e(p)} = \frac{K_c.K_d.K_H}{p^2 + K_c.K_d.K_H} = \frac{1}{\frac{p^2}{K_c.K_d.K_H} + 1}$$
 ordre: 2 classe: 0 gain statique: 1

Q18. Consigne en dirac :
$$\theta_e(p) = 1$$
 d'où $\theta_s(p) = H(p).\theta_e(p) = \frac{K_c.K_d.K_H}{p^2 + K_c.K_d.K_H} = \sqrt{K_c.K_d.K_H}.\frac{\sqrt{K_c.K_d.K_H}}{p^2 + K_c.K_d.K_H}$

Par transformée de Laplace inverse : $\theta_s(t) = \sqrt{K_c.K_d.K_H}.\sin((\sqrt{K_c.K_d.K_H}).t)u(t)$ Sinusoïde d'amplitude $\sqrt{K_c.K_d.K_H}$ et de période $\frac{2\pi}{\sqrt{K_c.K_d.K_H}}$.

Q19. La solution est inconditionnellement instable (sauf à prendre Kc = 0 mais le système ne serait plus alimenté...).

$$Q20.K_I = 3/18 = 1/6 \text{ V/degr\'e} = 1/6*(180/\pi) = 9.55 \text{ V/rad}$$

Q21.sur le schéma : $\mathcal{E} = K_I(\theta_e(t) - \theta_s(t))$. L'écart est une image proportionnelle à la différence d'angles entre l'entrée et la sortie. Si cette différence est nulle, \mathcal{E} est nul.

Q22. FT de la boucle interne :
$$\frac{\frac{K_m.K_2}{p}}{1 + \frac{K_m.K_2}{p}} = \frac{K_m.K_2}{p + K_m.K_2}$$

Lycée Claude Fauriel Page 2 sur 10

Q23.
$$H(p) = \frac{\theta_s(p)}{\theta_e(p)} = K_I \frac{K_1 \cdot \frac{K_H}{p} \frac{K_m \cdot K_2}{p + K_m \cdot K_2} \cdot r \cdot K_r}{1 + K_1 \cdot \frac{K_H}{p} \frac{K_m \cdot K_2}{p + K_m \cdot K_2} \cdot r \cdot K_r \cdot K_I} = \frac{K_I \cdot K_1 \cdot K_2 \cdot K_m \cdot K_H \cdot K_r \cdot r}{p^2 + K_m \cdot K_2 \cdot p + K_I \cdot K_1 \cdot K_2 \cdot K_m \cdot K_H \cdot K_r \cdot r}$$

Sous forme canonique :
$$H(p) = \frac{\theta_s(p)}{\theta_e(p)} = \frac{1}{\frac{1}{K_I.K_1.K_2.K_m.K_H.K_r.r}} \frac{1}{p^2 + \frac{1}{K_I.K_1.K_H.K_r.r}} \frac{1}{p+1}$$

Ordre: 2 classe: 0 gain statique: 1

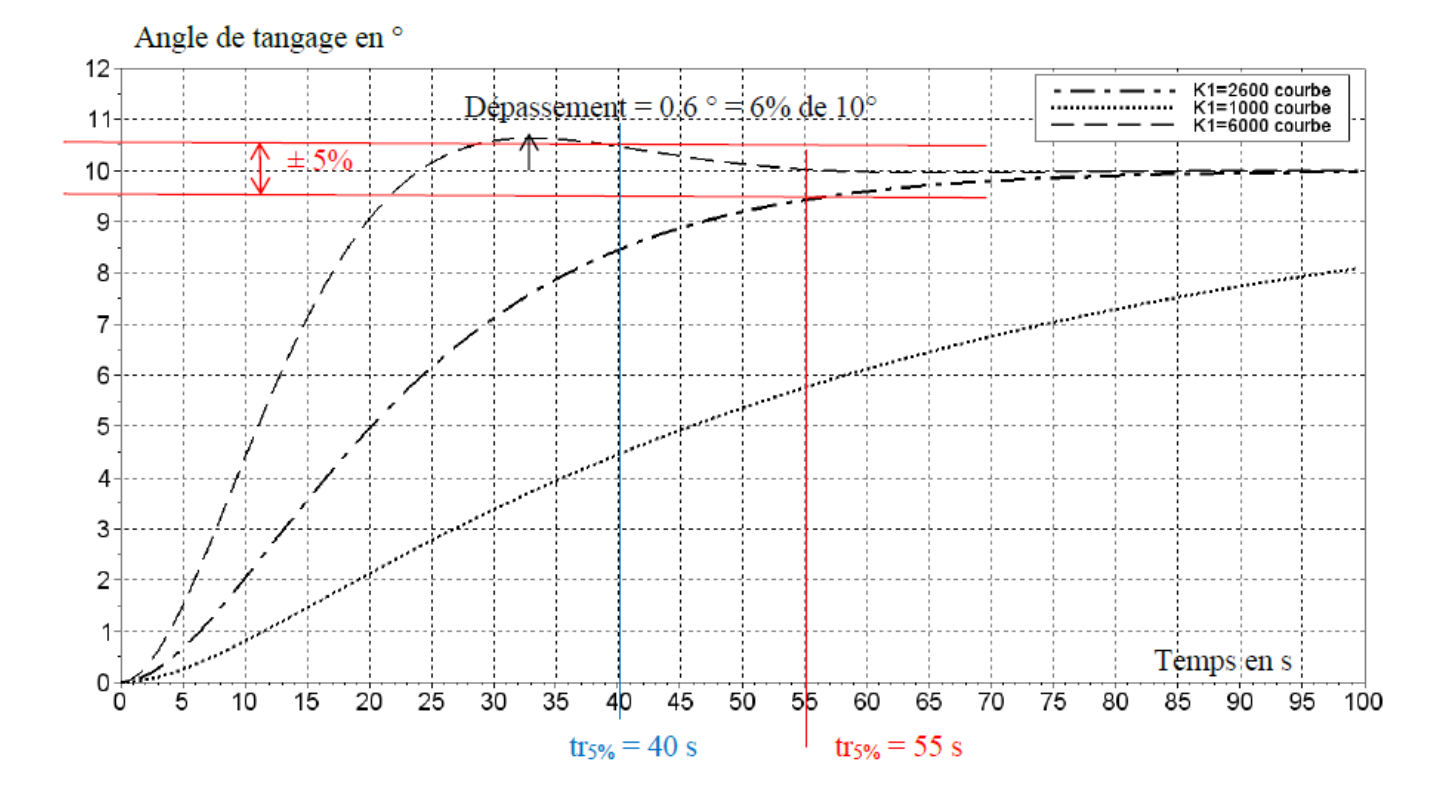
Q24. Le système est précis : l'écart ε en régime permanent vaut 0 pour les 3 valeurs de K₁ car Gain statique =1

Le temps de réponse : les 3 valeurs de K₁ sont acceptables (< 70s)

- pour $K_1 = 1000$: pas mesurable >100s
- pour $K_1 = 2600 : tr_{5\%} = 55 s$
- pour $K_1 = 6000 : tr_{5\%} = 40 \text{ s}$

La stabilité : pour $K_1 = 6000$ on a dépassement de la valeur asymptotique (0.6/10)*100 = 6% ce que n'autorise pas le cahier des charges.

La valeur à choisir est donc $K_1 = 2600$



Lycée Claude Fauriel Page 3 sur 10

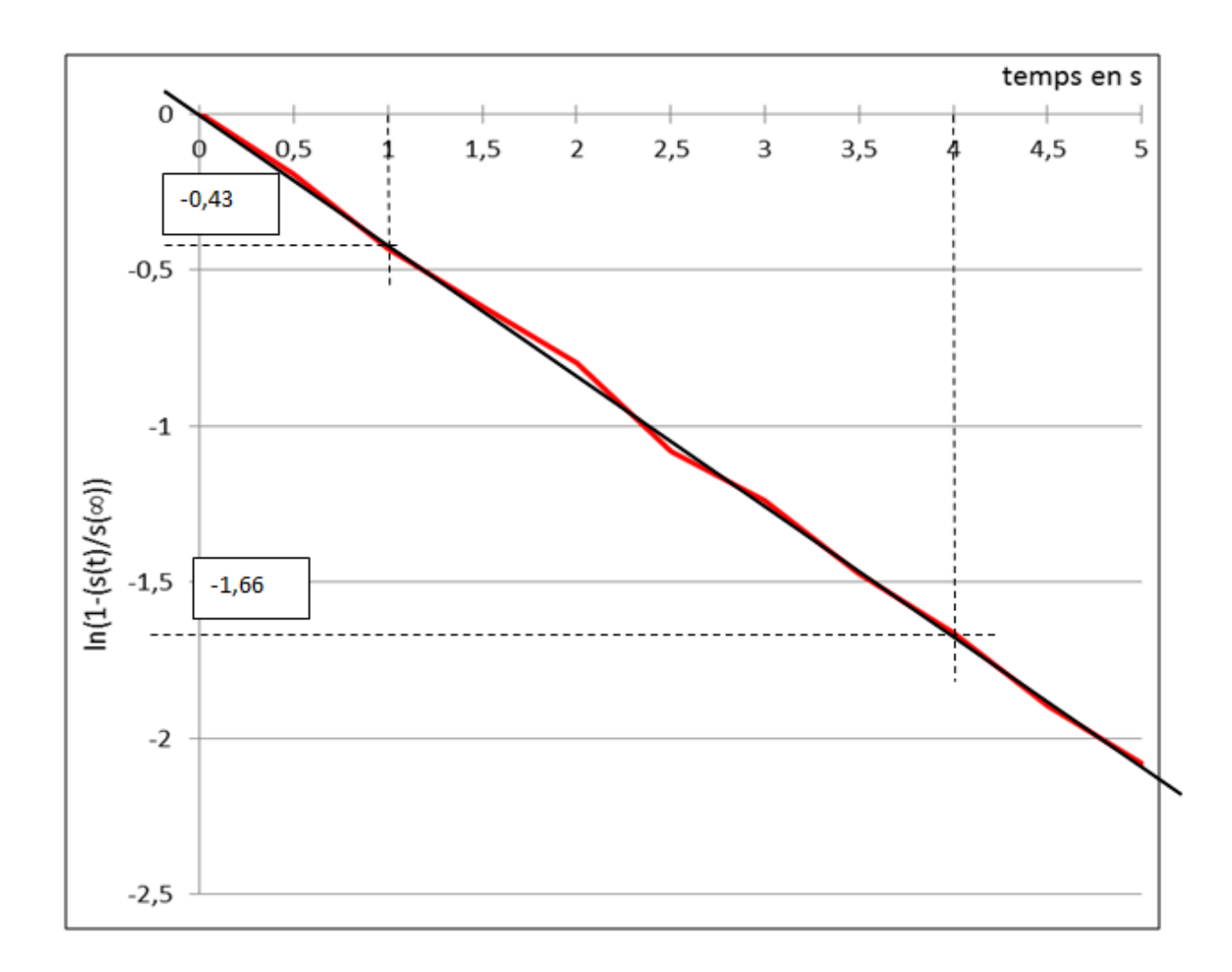
Problème N°2: Etude de la mise en température d'un procédé de chauffe

$$\mathbf{Q1}: \mathbf{E}(\mathbf{p}) = \frac{1}{\mathbf{p}} \implies \mathbf{S}(\mathbf{p}) = \frac{\mathbf{K}}{1+\tau \mathbf{p}} \cdot \frac{1}{\mathbf{p}}$$

$$S(p) = \frac{A}{p} + \frac{B}{1 + \tau p} = \frac{K}{p} - \frac{\tau K}{1 + \tau p} = K \left(\frac{1}{p} - \frac{1}{p + \frac{1}{\tau}} \right) \xrightarrow{L^{-1}} \underbrace{S(t) = K \left(1 - e^{-\frac{t}{\tau}} \right) u(t)}$$

$$\mathbf{Q2}: \text{ln} \Bigg(1 - \frac{s(t)}{s(\infty)} \Bigg) = \text{ln} \Bigg(1 - \frac{K \, (1 - e^{-\frac{t}{\tau}})}{K} \Bigg) = \text{ln} \Bigg(1 - 1 + e^{-\frac{t}{\tau}} \Bigg) = -\frac{t}{\tau}$$

Q3 : on détermine graphiquement la pente de la droite de régression : elle vaut -1/ τ = (-1.66+0.43)/(4-1) = -0.41 D'où τ = 2.4 s



Q4:

①:
$$m_b c_b p T_b(p) + K_{ab} [T_b(p) - T_a(p)] = P(p)$$

②:
$$m_a c_a p T_a(p) + K_{ae} [T_a(p) - T_e(p)] = K_{ab} [T_b(p) - T_a(p)]$$

③:
$$m_e c_e p T_e(p) + K_{ae} [T_e(p) - T_{ext}(p)] = K_{ae} [T_a(p) - T_e(p)]$$

Q5:

Lycée Claude Fauriel Page 4 sur 10

$$T_{b}(p) = \frac{\frac{1}{K_{ab}}}{1 + \frac{m_{b}c_{b}}{K_{ab}}p} P(p) + \frac{1}{1 + \frac{m_{b}c_{b}}{K_{ab}}p} T_{a}(p)$$

$$\begin{array}{c|c}
\hline
P(p) & \frac{1}{K_{ab}} \\
\hline
T_a(p) & \frac{1}{1+\tau_1 p} & T_b(p)
\end{array}$$

H₁(p): système du 1^{er} ordre

- Gain $K_1 = 1$
- Constante de temps $\tau_1 = \frac{m_b c_b}{K_b}$

$$\tau_1 = \frac{200 \cdot 500}{40} = 2500s \approx 40 \,\text{min}$$

Q6:

$$T_{a}(p) = \frac{\frac{K_{ae}}{K_{ae} + K_{ab}}}{1 + \frac{m_{a}c_{a}}{K_{ae} + K_{ab}}} T_{e}(p) + \frac{\frac{K_{ab}}{K_{ae} + K_{ab}}}{1 + \frac{m_{a}c_{a}}{K_{ae} + K_{ab}}} T_{b}(p)$$

 $H_3(p)$: système du 1^{er} ordre

Gain
$$K_3 = \frac{K_{ae}}{K_{ae} + K_{ab}}$$

Constante de temps

$$\tau_3 = \frac{m_a c_a}{K_{ae} + K_{ab}} = \frac{2 \cdot 700}{400 + 40} \approx 3s$$

$$\tau_3 = 3s$$

H₄(p): système du 1^{er} ordre

Gain
$$K_4 = \frac{K_{ab}}{K_{ae} + K_{ab}}$$

Constante de temps idem $H_3(p)$

$$\tau_3 = 3s$$

Schéma bloc:

Q7:

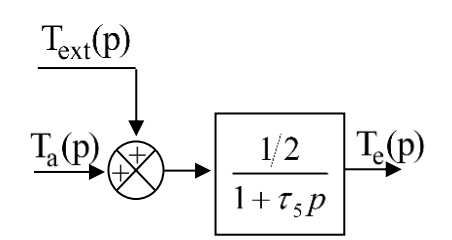
$$T_e(p) = \frac{1/2}{1 + \frac{m_e c_e}{2K_{co}} p} \left[T_{ext}(p) + T_a(p) \right]$$

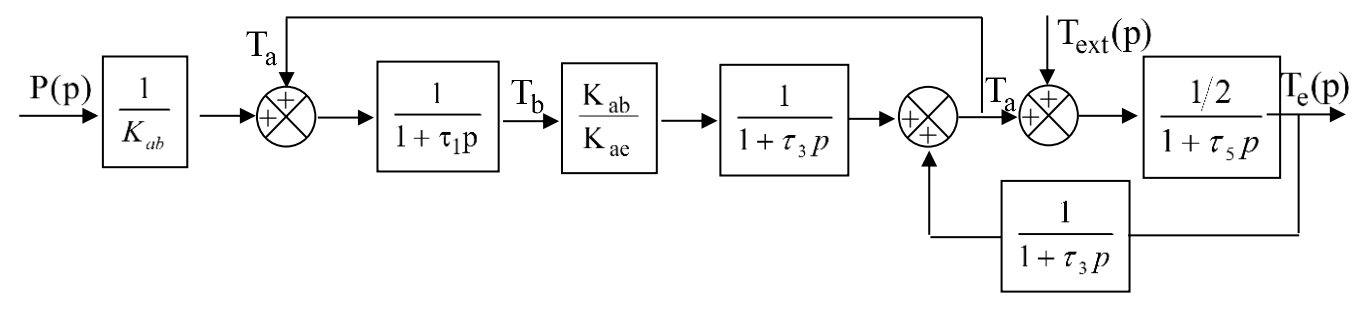
système du 1er ordre

Gain $\frac{1}{2}$

Constante de temps
$$\tau_5 = \frac{m_e c_e}{2K_{ae}} = \frac{50.4000}{2.400} = 250 s$$

Q8:

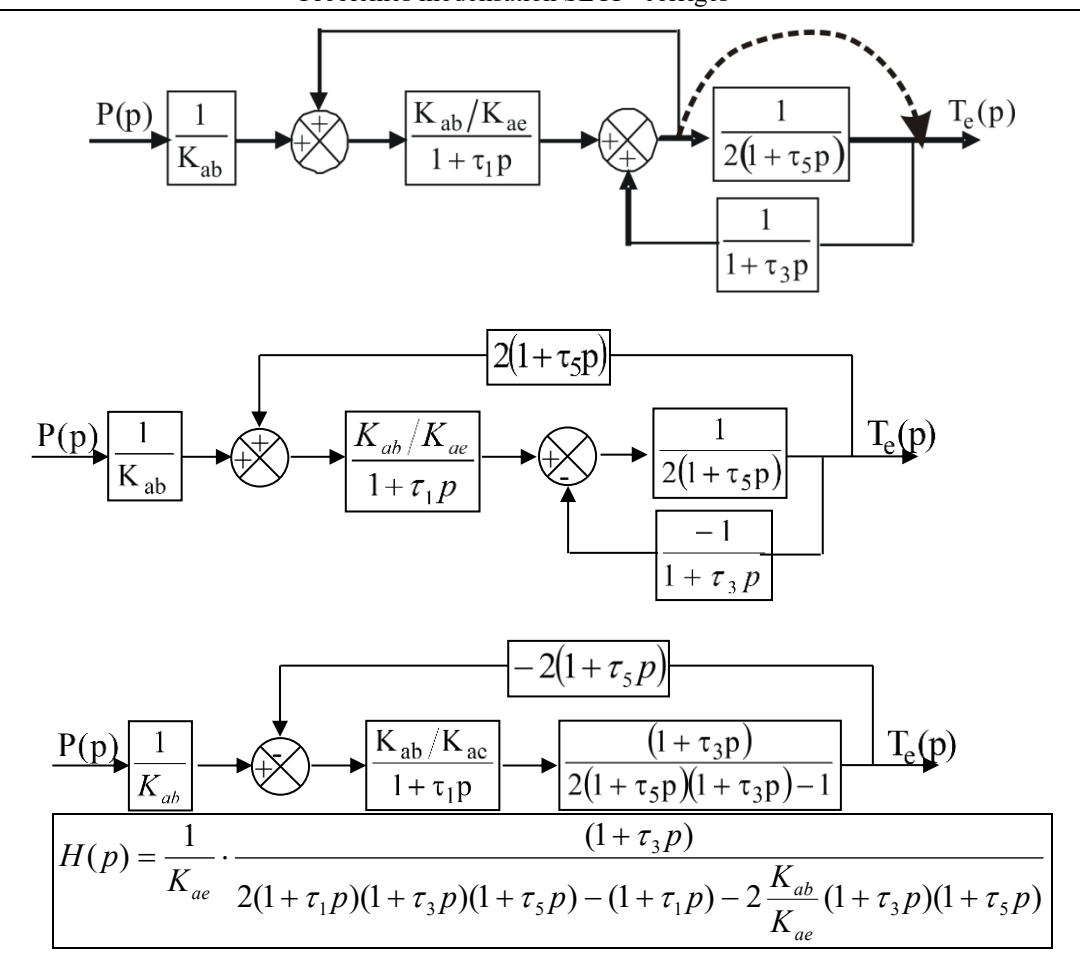




Q9:

Par manipulation du schéma-bloc :

Lycée Claude Fauriel Page 5 sur 10



Q10:

Entrée échelon de puissance
$$P(p) = \frac{P_0}{p}$$
 d'où $T_e(p) = \frac{P_0}{p} \cdot \frac{1}{400(1 + 2500 \, p)(1 + 500 \, p)}$

D'après le théorème de la valeur initiale :

$$\theta_e(0) = \lim_{p \to \infty} pT_e(p) = 0 \,^{\circ}\text{C} ;$$

$$\theta'_{e}(0) = \lim_{p \to \infty} p^{2}T_{e}(p) = 0$$
 °C/s

D'après le théorème de la valeur finale :

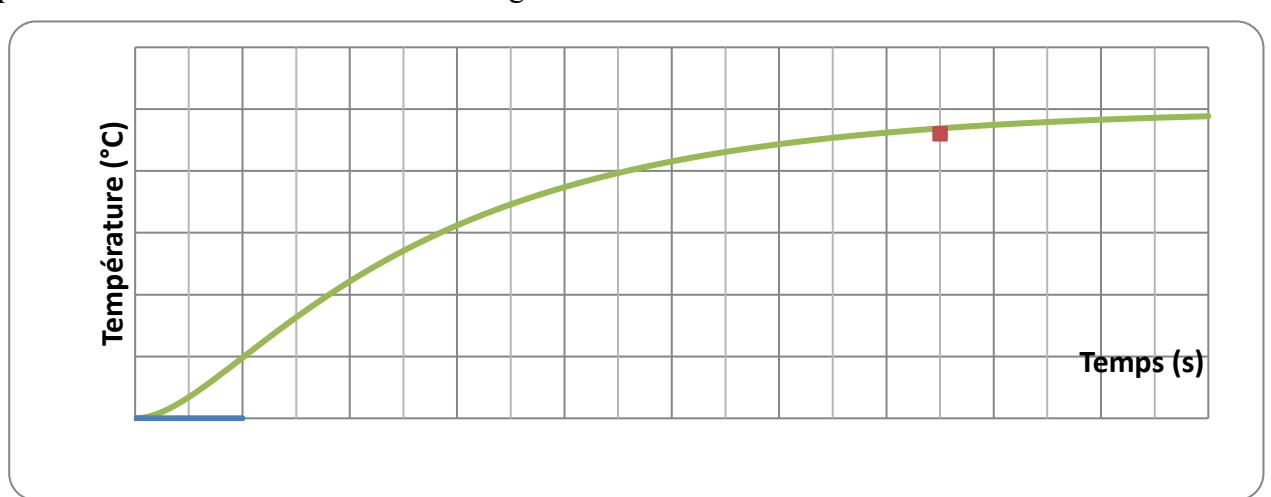
$$\theta_e(\infty) = \lim_{p \to 0} p T_e(p) = \frac{10^4}{400} = 25^{\circ} C$$
;

$$\theta'_{e}(\infty) = \lim_{p \to 0} p^{2}T_{e}(p) = 0$$
 °C/s asymptote horizontale

valeur initiale nulle, tangente horizontale à l'origine, valeur en régime permanent $\frac{10^4}{400} = 25^{\circ}C$.

Q11:

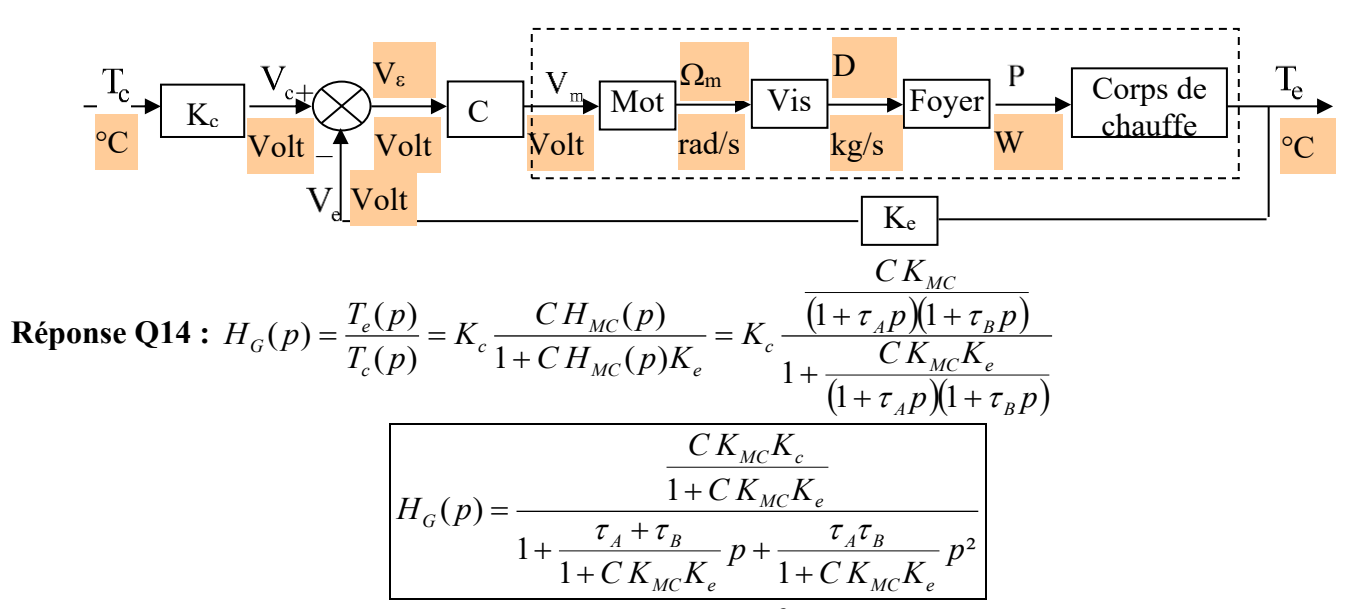
On connait la valeur et la pente à l'origine, l'asymptote en régime permanent est horizontale à $25^{\circ}C$, C'est la réponse indicielle d'un second ordre en régime amorti.



Lycée Claude Fauriel Page 6 sur 10

Q12: les constantes de temps qui apparaissent dans la fonction de transfert du corps de chauffe sont beaucoup plus grandes que la constante de temps du capteur. On a vu que le temps de réponse pour un 1^{er} ordre vaut 3 fois la constante de temps. Ce qui signifie que la réactivité du capteur est beaucoup plus grande que celle du corps de chauffe. On peut donc la négliger (cette hypothèse est très générale dans la modélisation des systèmes bouclés). La fonction de transfert du capteur se limite donc à son gain statique. Ici Kc. Remarque : dans la première partie on étudie le capteur avec un module de conversion pour l'affichage de la température mesurée. Ce module est étalonné pour que la température affichée soit la température réelle. Ce n'est plus le cas ici. Le module de conversion pour l'affichage est retiré.

Q13:



$$\lim_{t \to \infty} \theta_e(t) = \lim_{p \to 0} p T_e(p) = \frac{C K_{MC} K_c}{1 + C K_{MC} K_e} \theta_{c0}$$

Q15 :Pour une entrée de type échelon
$$\theta_c(t) = \theta_{c0}$$
, $T_c(p) = \frac{\theta_{c0}}{p}$:
$$\lim_{t \to \infty} \theta_e(t) = \lim_{p \to 0} p T_e(p) = \frac{C K_{MC} K_c}{1 + C K_{MC} K_e} \theta_{c0}$$
Q16 : $\lim_{t \to \infty} (\theta_{c0} - \theta_e(t)) = \theta_{c0} \left(1 - \frac{C K_{MC} K_c}{1 + C K_{MC} K_e} \right)$

Q17: pour avoir un écart statique nul, il faut :
$$\frac{CK_{MC}K_c}{1 + CK_{MC}K_e} = 1$$
 D'où :
$$K_c = \frac{1 + CK_{MC}K_e}{CK_{MC}}$$

Q18: bilan des performances

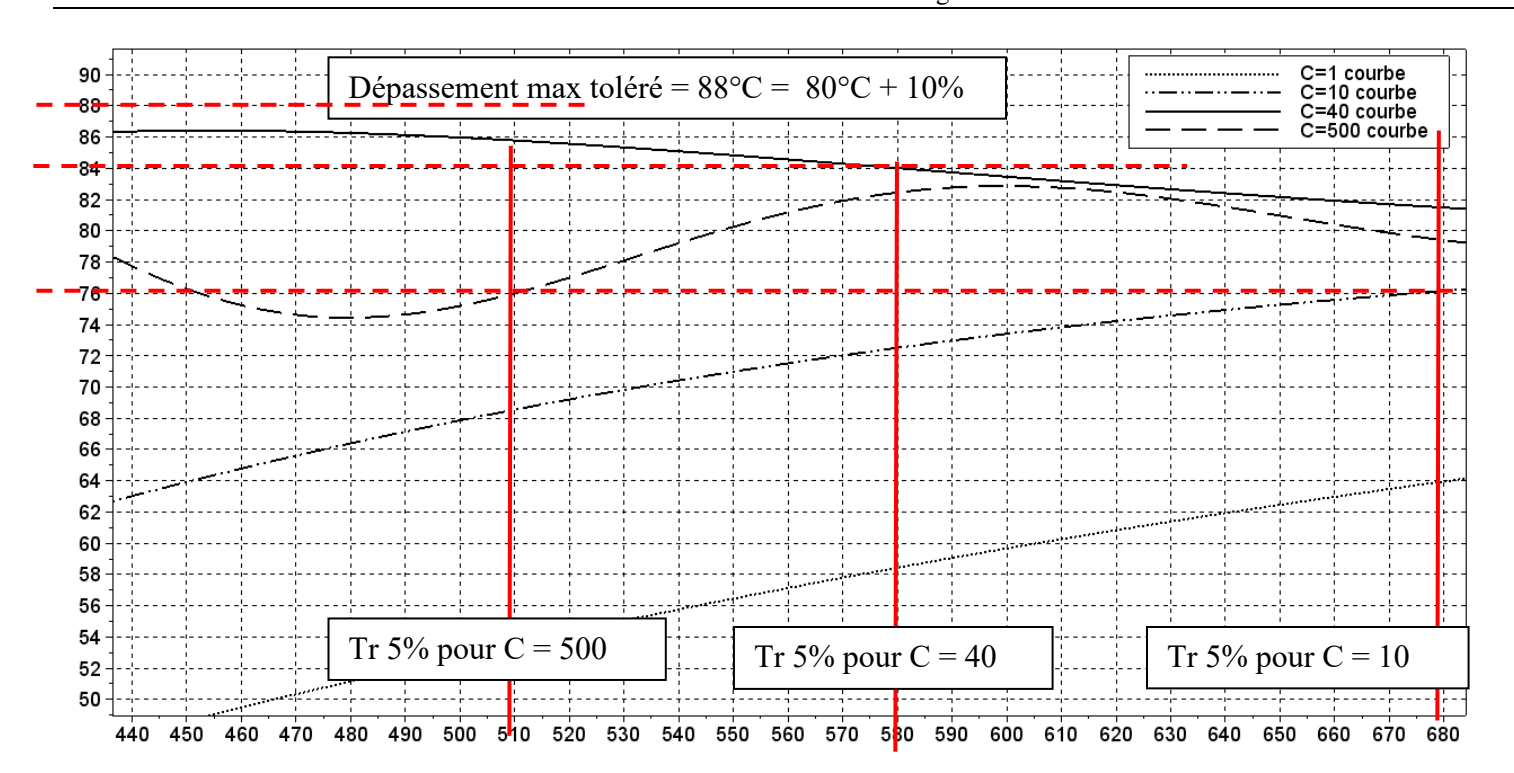
Le système est précis : l'écart en régime permanent vaut 0 pour les 4 valeurs de C grâce à Kc. On retrouve sur le schéma le résultat de la question 13...

Le temps de réponse : on élimine C = 1 et 10. pour C = 500 : $tr_{5\%} = 510$ s, pour C = 40 : $tr_{5\%} = 580$ s, pour C = 1 : $tr_{5\%} > 900 \text{ s, pour } C = 10 : tr_{5\%} = 680 \text{ s}$

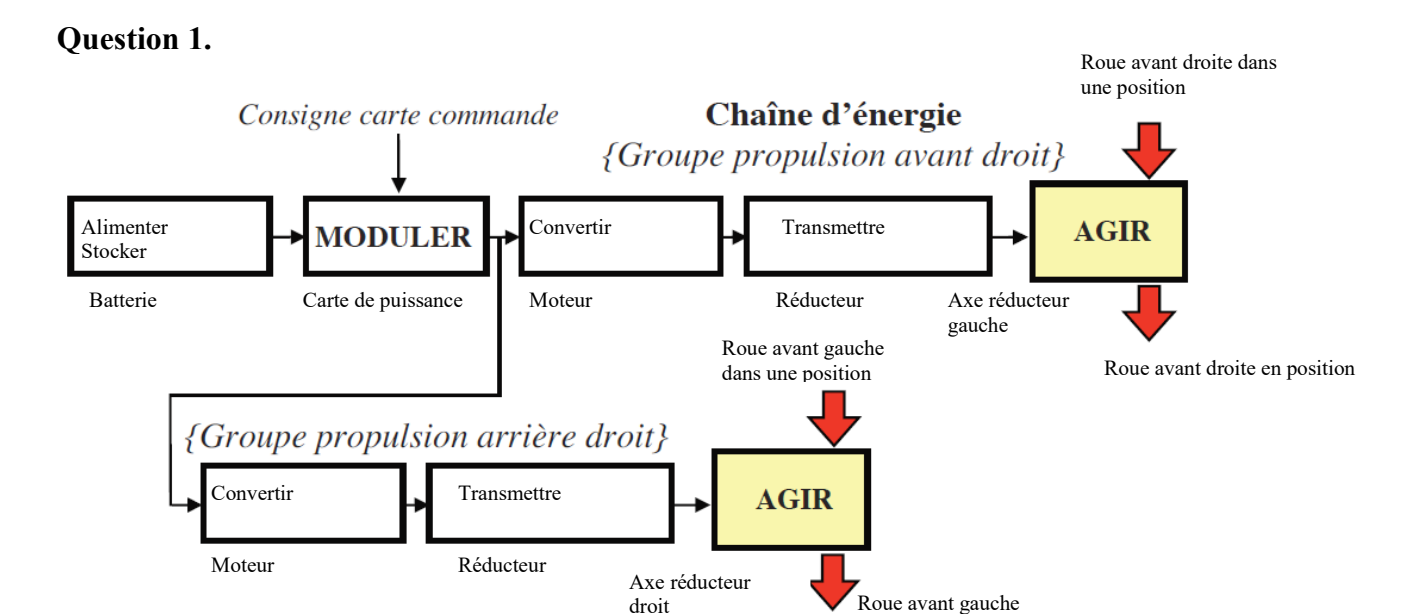
La stabilité : pour C = 500 on a dépassement de la valeur asymptotique (120-80 = 50% de 80°C > 10% de 80°C) ce que n'autorise pas le cahier des charges.

La valeur à choisir est donc C = 40

Lycée Claude Fauriel Page 7 sur 10



Problème N°3 : robot de maraîchage



Question 2.

Valeur de l'échelon : 15V

Valeur de ω_g en régime permanent : 98 rad.s^-l

On en déduit :

$$K_g = \frac{98}{15} = 6,5 \, rad.s^1.V^{-1}$$

Constante de temps : 0.3s car temps de réponse à 5% ≈0.9s ≈3τ

D'où:

$$H_g(p) = \frac{\Omega_g(p)}{U_g(p)} = \frac{6.5}{1 + 0.3p}$$

Même chose pour $H_d(p)$

Lycée Claude Fauriel Page 8 sur 10

en position

On peut en déduire :

$$\begin{split} H_1(p) &= \frac{\Omega_d(p) - \Omega_g(p)}{U_d(p) - U_g(p)} = \frac{\frac{6.5}{1 + 0.3p} U_d(p) - \frac{6.5}{1 + 0.3p} U_g(p)}{U_d(p) - U_g(p)} \\ H_1(p) &= \frac{6.5}{1 + 0.3p} \end{split}$$

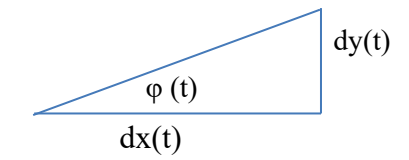
Question 3.

À partir de la question précédente, on peut écrire : $\omega_d = \frac{V + e\dot{\phi}}{r}$ et $\omega_g = \frac{V - e\dot{\phi}}{r}$

On en déduit :
$$\Delta \omega = \omega_d - \omega_g = \frac{V + e\dot{\varphi}}{r} - \frac{V - e\dot{\varphi}}{r}$$
 $\Delta \omega = \frac{2e}{r}\dot{\varphi} = \frac{2e}{r}\frac{d\dot{\varphi}}{dt}$

$$H_{21}(p) = \frac{\Phi(p)}{\Delta\Omega(p)} = \frac{r}{2ep}$$
 (Condition initiale nulle)

Question 4.



$$\tan \varphi(t) = \frac{dy(t)}{dx(t)} \sin \varphi \operatorname{est} \operatorname{petit} \tan \varphi(t) = \varphi(t) \quad d' \circ u \quad \varphi(t) = \frac{dy(t)}{dx(t)} = \frac{dy(t)}{dt} \cdot \frac{dt}{dx(t)}$$

$$dy(t) = \varphi(t) \frac{dx(t)}{dt} = \varphi(t) \frac{dx(t$$

$$\frac{dy(t)}{dt} = \varphi(t)\frac{dx(t)}{dt} \qquad \dot{y}(t) = \varphi(t)\dot{x}(t) = \varphi(t)V$$

Question 5.

D'après la question précédente : $H_{22}(p) = \frac{Y(p)}{\Phi(p)} = \frac{V}{p}$ (condition initiale nulle)

On en déduit :

$$H_2(p) = H_{21}(p)H_{22}(p) = \frac{r}{2ep}\frac{V}{p} = \frac{rV}{2ep^2}$$

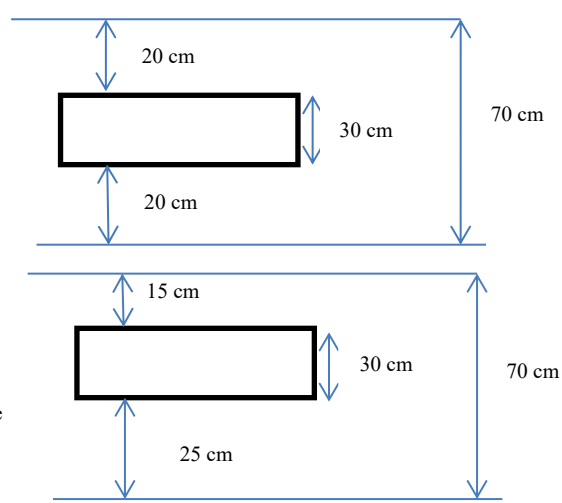
Question 6.

Si le robot est centré

D'après la courbe de la figure 10, on en déduit $U_{cap-0}=1,3V$

Si le robot est décalé vers la gauche de 5 cm (y(t) positif par rapport à la ligne moyenne)

D'après la courbe de la figure 10, U_{cap-droit}=1.1V et U_{cap-gauche}=1.6V



Lycée Claude Fauriel Page 9 sur 10

Question 7.

Autour de ce point de fonctionnement $K_c = \frac{(1.6-1.1)}{0.05} = 10 \text{ V. m}^{-1}$

Question 8.

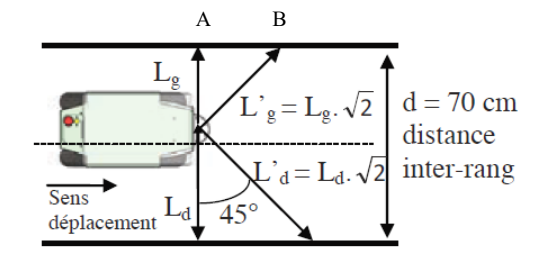
L'utilisation des 2 capteurs à 45° va permettre d'introduire un temps d'avance pour la prise en compte de décalage du robot. Il est ainsi possible de voir à l'avance dans quelle direction le robot se dirige et ainsi de pouvoir corriger la trajectoire au plus tôt.

Question 9.

La distance entre les points A et B vaut Lg. On obtient donc un temps d'avance de $t_g = \frac{L_g}{V}$

De la même manière $t_d = \frac{L_d}{V}$

Si on considère que le robot est centré : $t_g = t_d = \frac{35.10^{-2}}{0.2} = 1.75$ s



Question 10.

Le système est stable pour $K_{cor} = 0.05$ et 0.2

Il est précis (écart nul en régime permanent entre entrée et sortie) pour les mêmes valeurs de K_{cor} Les temps de réponse à 5% sont de 4.7s pour $K_{cor} = 0.2$ et 14s pour $K_{cor} = 0.05$

On choisit la valeur 0.2 pour K_{cor.}

l'Id 111 est respectée. Notre étude montre que le système peut être rendu instable par un mauvais choix de gain de correcteur (cela vient de la double intégration en chaîne directe).

Lycée Claude Fauriel Page 10 sur 10